

## پیاده‌سازی روش گیبس- اپل در تجزیه و تحلیل دینامیکی یک ربات جدید هیبریدی سریال- موازی (PP-(3RSS-PS)

چکیده این مقاله یک طراحی مفهومی از یک ربات هیبریدی جدید به نام  $PP-(3RSS-PS)$  را معرفی می‌کند که به طور خاص برای شبیه‌سازی حرکت در نظر گرفته شده است. ربات ارائه شده چندین مزیت قابل توجه را ارائه می‌دهد، از جمله طراحی ساختاری ساده و فشرده که باعث ایجاد فضای کاری بزرگ برای ربات می‌شود. محورهای  $X$  و  $Y$  برای تسهیل فازهای شتاب طولانی طراحی شده‌اند، در حالی که طراحی شفت توخالی سیستم انتقال قدرت، حرکت یابو نامحدود را امکان‌پذیر می‌کند. در کاربردهای خاصی مانند مانورهای هوایی مانند حرکت هلیکوپتر، توانایی دستیابی به حرکت در جهت یابو نامحدود برای ارائه شبیه‌سازی‌های دقیق و معلق در هوا اهمیت زیادی دارد. برای برقراری ارتباط بین فضای مفصلی و فضای کارترین، تحلیل‌های جامع سینماتیک، ژاکوبین و دینامیکی ربات انجام می‌شود. این روابط مقدماتی، پایه و اساس تحقیقات بعدی مانند مطالعات بهینه‌سازی را میسر می‌کند. فرمول گیبس-اپل برای استخراج معادلات دینامیکی استفاده می‌شود که نسبت به روش لاگرانژ از کارایی محاسباتی برخوردار است. برای اعتبارسنجی مدل تحلیلی، شبیه‌سازی با استفاده از نرم افزار MSC-ADAMS انجام شده است. این شبیه‌سازی شامل شش مسیر از پیش تعریف شده است که از یک شبیه‌ساز حرکت صنعتی اتخاذ شده است. اعتبارسنجی موفقیت‌آمیز نتایج نه تنها صحت مدل تحلیلی را تایید می‌کند، بلکه انگیزه‌ای برای تحقیقات بیشتر در جستجوی یک شبیه‌ساز حرکت جایگزین استثنایی می‌کند.

واژه‌های کلیدی ربات هیبریدی، سنتز ربات‌ها، دینامیک، گیبس- اپل، شبیه‌ساز حرکتی

### Implementation of Gibbs-Appell method in dynamic analysis of a novel serial-parallel hybrid robot PP-(3RSS-PS)

**Abstract** This paper introduces a conceptual design of a new hybrid robot, named  $PP-(3RSS-PS)$ , specifically intended for motion simulation. The presented robot offers several notable advantages, including a simple and compact structural design that optimizes its large workspace. The modular  $X$  and  $Y$  axes are engineered to facilitate extended acceleration phases, while the power transmission system's hollow shaft design enables unlimited yaw motion. In certain applications like aerial maneuvers, dogfights, and helicopter operations, the ability to achieve unlimited yaw motion holds significant importance for delivering precise and immersive simulations. To establish the relationship between joint space and Cartesian space parameters, comprehensive kinematic, Jacobian, and dynamic analyses of the robot are performed. These preliminary relations lay the foundation for subsequent investigations, such as optimization studies. The Gibbs-Appell formulation is employed to derive the dynamic equations, leveraging its computational efficiency over the Lagrange method. To validate the analytical model, a simulation using MSC-ADAMS software is conducted. This simulation incorporates six predefined trajectories adopted from an industrial motion simulator. Successful validation of the results would not only confirm the accuracy of the analytical model but also motivate further research in search of an exceptional alternative motion simulator.

**Keywords** Hybrid robot, Robot synthesis, Dynamic, Gibbs-Appell, Motion simulator.

ربات‌های سری به طور گسترده‌ای در کاربردهایی که به فضای کاری بزرگ و ماهرانه نیاز دارند، استفاده می‌شوند. از طرفی توانایی ربات‌های موازی در دستیابی به دقت بالاتر و همچنین سفتی ساختاری بالاتر، بیشتر از ربات‌های سری است. شاخه جدیدی از ربات‌ها که از مزایای هر دو نوع ربات سری و موازی بهره می‌برند در اوایل دهه ۹۰ معرفی شدند که به عنوان ربات هیبریدی شناخته می‌شوند [۱-۳].

محققان ربات‌های هیبریدی مختلفی با ویژگی‌های منحصر به فرد طراحی کرده‌اند. بسته به ترتیب زنجیره سینماتیک، یک ساختار ترکیبی را می‌توان به نوع موازی- موازی، نوع سریال- موازی و نوع موازی- سریال طبقه‌بندی کرد [۴، ۵]. در عمل‌های جراحی کم تهاجمی که هر دو دقت و مهارت از اهمیت یکسانی برخوردارند، معمولاً ربات‌های هیبریدی موازی- سریال انتخاب می‌شوند. برای این کاربرد، به طور کلی، یک ربات سریال به عنوان یک ماژول ماکرو عمل می‌کند و یک ربات موازی وظیفه موقعیت‌دهی میکرو را انجام می‌دهد [۶، ۷]. در صنعت شبیه‌سازی، ربات‌های هیبریدی می‌توانند برای وسایل نقلیه خاص طراحی شوند. ربات جدیدی به نام Dim که توسط سازندگان خودرو طراحی و آزمایش شده است، یک ربات هیبریدی موازی- موازی با زنجیره سینماتیک (6-UPS)-(3-UPS) است [۸]. با استفاده از این ربات تولید حرکت واقعی برای شبیه‌سازی خودرو امکان‌پذیر شده است. پیش از این، ربات‌های استوارت بر روی یک یا دو ریل خطی عمود بر یکدیگر برای کاربردهای شبیه‌سازی خودرو نصب می‌شدند. در [۹] یک ربات هیبریدی برای جراحی ایمپلنت دندان معرفی شده است که از ربات استوارت برای عمل جراحی با دقت بالا استفاده می‌کند. دونگ و همکاران نیز در [۱۰] مدلسازی دینامیکی یک ربات هیبریدی ۵ درجه آزادی برای کاربردهای ماشینکاری را انجام داده‌اند. همچنین آن‌ها به طراحی بهینه این ربات بر اساس شاخص‌های عملکردی ربات پرداخته‌اند و تاثیر متغیرهای طراحی را بر روی این شاخص‌ها بررسی کرده‌اند. در [۱۱] نیز یک ربات هیبریدی نرم- سخت با چندین ماژول معرفی شده است. هر یک از ماژول‌ها می‌تواند برای محدوده‌های حرکتی مختلف و نیازهای نیرویی متفاوت بکار گرفته شود و یک ربات ماژولار با انواع ساختارهای سینماتیک داشت.

اکثر ربات‌های شبیه‌ساز حرکت هیبریدی بیش از ۶ درجه آزادی دارند. در این مقاله، ترکیبی از ربات XY و 3RSS-PS برای ساخت یک سکوی متحرک هیبریدی کامل استفاده شده است. ربات 3RSS-PS معرفی شده در این مقاله نسخه اصلاح شده ربات موازی کروی 3RSS-S است که توسط انفرادی [۱۲] ارائه شده است که از ویژگی‌های مناسب برای کاربرد شبیه‌سازی حرکت بهره می‌برد. ویژگی اصلی ربات، طراحی شفت توخالی و در نتیجه آن حرکت در جهت یابو نامحدود است. ترکیب ربات 3RSS-PS با میز متحرک XY، یک ربات ترکیبی با شاخص حجم فضای کاری بزرگ و مناسب برای کاربردهای شبیه‌ساز ایجاد می‌کند [۱۳-۱۶]. استفاده از شاخص‌هایی برای بهینه‌سازی ساختار ربات‌های هیبریدی مختلف رایج است [۱۷، ۱۸]. طیف گسترده‌ای از شاخص‌های عملکرد با استفاده از معادلات سینماتیکی، ماتریس ژاکوبین یا معادلات دینامیکی وجود دارد.

بدست آوردن مدل دینامیکی یک ربات مقدماتی برای اهداف کنترل و شبیه‌سازی است. به طور کلی دینامیک کلاسیک، حرکت ربات‌ها را با دو رویکرد دینامیک برداری و دینامیک تحلیلی توصیف می‌کند. دینامیک برداری بر اساس استفاده مستقیم از قانون حرکت نیوتن است، در حالی که دینامیک تحلیلی از روش‌های متداول انرژی و توابع اسکالر مانند انرژی جنبشی و انرژی پتانسیل استفاده می‌کند. روش‌های دینامیکی برداری متفاوتی مانند روش نیوتن اوایلر [۱۹، ۲۰] و نظریه پیچ<sup>۱</sup> [۲۱] و همچنین روش‌های مبتنی بر انرژی مانند روش لاگرانژی [۲۲]، روش کین [۲۳] و اصل کار مجازی [۲۴] استفاده می‌شود. برای بدست آوردن معادله دینامیکی حرکت ربات‌های مختلف هر یک از این روش‌ها نسبت به روش‌های دیگر بسته به مطالعه موردی مزایای خاصی دارند. اساساً برای بدست آوردن معادلات

<sup>۱</sup> Screw theory

دینامیکی با استفاده از روش مبتنی بر انرژی، بار محاسباتی کمتری مورد نیاز است. برای بدست آوردن معادله دینامیکی ربات هیبریدی (PP-(3RSS-PS)) روش گیبس-آپل<sup>۱</sup> به عنوان یک روش ساده مبتنی بر انرژی در نظر گرفته شده است.

در این مقاله ضمن ارائه یک ربات جدید هیبرید (سریال - موازی)، مدل دینامیکی این ربات نیز استخراج و صحت‌گذاری شده است. در مقایسه با سایر ربات‌های مورد استفاده برای شبیه‌سازی حرکت، مکانیزم پیشنهادی از مزیت امکان ایجاد حرکت نامحدود یا بهره می‌برد که در بسیاری از کاربردها مفید می‌باشد. مستقل بودن حرکت در جهت‌های X و Y علی‌رغم ایجاد نیاز به استفاده از عملگرهای بزرگ‌تر در این دو راستا، طراحی مسیر و کنترل ربات در این راستاها را بسیار ساده‌تر خواهد کرد. با ویژگی‌های ذکر شده ربات پیشنهادی از شاخص فضای کاری مناسبی برخوردار است و همچنین دقت و سفتی ربات به واسطه ساختار موازی بالاتر می‌باشد.

## ۲- هندسه ربات

ربات هیبریدی (PP-(3RSS-PS)) با شش درجه آزادی از یک ربات موازی چهار درجه آزادی تشکیل شده است که بر روی یک میز سریال XY معمولی نصب شده است. در شکل ۱ بخش ربات سریال و موازی ربات هیبریدی به طور جداگانه نشان داده شده است. بخش سریال از دو ماژول خطی عمود بر هم ساخته شده است. این ماژول‌ها در طول‌ها و مشخصات مختلف به راحتی در دسترس هستند و می‌توان آن‌ها را با توجه به نیازهای کاربردی انتخاب کرد. بخش ربات موازی با ساختار 3RSS-PS از یک صفحه پایه تشکیل شده است که توسط چهار زنجیره سینماتیکی به صفحه متحرک متصل شده است. سه تا از این زنجیره‌های سینماتیکی پایه‌های RSS یکسانی هستند که برای جهت‌گیری ربات مورد استفاده قرار می‌گیرند و چهارمین زنجیره سینماتیکی یک پایه PS است. لازم به ذکر است هنگامی که صفحه متحرک ربات نسبت به صفحه ثابت ربات دارای جهت‌گیری باشد، حرکت در امتداد محور Z نیز می‌تواند به تنهایی بر جهت‌گیری مجری نهایی ربات تأثیر بگذارد. هر پایه RSS شامل یک مفصل چرخشی و یک جفت مفصل کروی متوالی است، در حالی که پایه PS از یک مفصل کشویی متصل به یک مفصل کروی ساخته شده است.



شکل ۱: الف) بخش سریال، ب) بخش موازی، پ) ربات هیبریدی

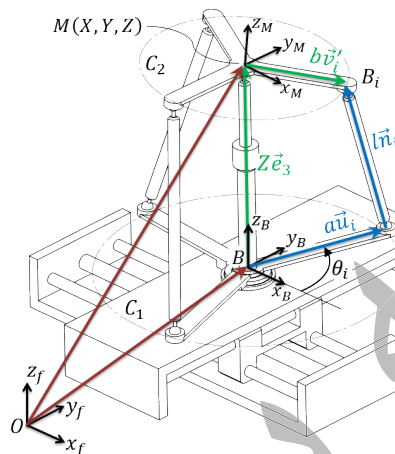
ساختار هیبریدی این ربات مزایای متعددی را به همراه دارد. طول محورهای X و Y را می‌توان به طور مستقل و به اندازه دلخواه برای ایجاد حرکت انتقالی خالص انتخاب کرد. آرایش منحصر به فرد لینک‌های دورانی نیز به ربات اجازه می‌دهد تا چرخش نامحدود حول محور Z داشته باشد.

## ۳- سینماتیک ربات

علم سینماتیک مطالعه رابطه بین حرکت مجری نهایی ربات و محرک‌های ربات است. مسئله سینماتیک معکوس موقعیت و جهت‌گیری مجری نهایی ربات را با حرکت محرک‌ها مرتبط می‌کند. در شکل ۲ نمای شماتیک ربات هیبریدی (PP-(3RSS-PS)) آورده شده است.

<sup>۱</sup> Gibbs-Appell

لازم به ذکر است که برای ساده سازی معادلات، ضخامت اجزا نادیده گرفته شده است. در شکل ۲،  $C_1$  یک صفحه دایره‌ای با ضخامت صفر است که به جای صفحه پایه استفاده می‌شود و از مرکز اتصالات کروی پایینی عبور می‌کند. به طور مشابه،  $C_2$  جایگزینی برای صفحه متحرک است که مرکز اتصالات کروی بالایی در قسمت محیطی آن قرار دارد. سیستم مختصات پایه  $\{x_B y_B z_B\}$  و سیستم مختصات متحرک  $\{x_M y_M z_M\}$  در مرکز صفحات  $C_1$  و  $C_2$  یعنی نقاط  $B$  و  $M$  قرار دارند. هر کدام از این سیستم‌های مختصات بر حسب سیستم مختصات جهانی  $\{x_f y_f z_f\}$  بیان می‌شوند. بردارهای واحد  $\vec{u}_i$  و  $\vec{v}_i$  نیز به ترتیب راستای یکه بردارهای  $\vec{BA}_i$  و  $\vec{MB}_i$  را نشان می‌دهند. طول لینک‌های میانی که نقاط  $A_i$  را به نقاط  $B_i$  متصل می‌کنند برابر  $l$  است. بردار یکه  $\vec{n}_i$  نیز راستای هر لینک میانی را مشخص می‌کند. نقطه  $M$  نشان داده شده در شکل با مختصات  $(X, Y, Z)$  نیز به عنوان مجری نهایی ربات عمل می‌کند.



شکل ۲: زنجیره سینماتیکی  $i$ ام ربات هیبریدی PP-(3RPS-PP)

ماتریس تبدیل بین سیستم مختصات جهانی و پایه فقط شامل انتقال است در حالی که سیستم مختصات متحرک جهت‌گیری‌های متفاوتی را می‌تواند نسبت به سیستم مختصات پایه داشته باشد. بردارهای واحد در سیستم مختصات ثابت و پایه به صورت زیر تعریف می‌شوند:

$$\vec{e}_1 = [1 \ 0 \ 0]^T, \quad \vec{e}_2 = [0 \ 1 \ 0]^T, \quad \vec{e}_3 = [0 \ 0 \ 1]^T \quad (1)$$

برای به دست آوردن ماتریس دوران سیستم مختصات متحرک نسبت به سیستم مختصات پایه یا همان ماتریس  $\mathcal{R}$  از زوایای اوایلر استفاده می‌شود که دارای سه دوران متوالی  $\phi$ ،  $\theta$  و  $\psi$  به ترتیب حول محورهای  $X$ ،  $Y$  و  $Z$  است. فرم توسعه یافته ماتریس  $\mathcal{R}$  به صورت معادله ۲ بیان می‌شود.

$$\mathcal{R} = \mathcal{R}_Z \mathcal{R}_Y \mathcal{R}_X = \begin{bmatrix} c\psi c\theta & c\psi s\phi s\theta - c\phi s\psi & s\phi s\psi + c\phi c\psi s\theta \\ c\theta s\psi & c\psi c\phi + s\theta s\phi s\psi & c\phi s\psi s\theta - c\psi s\phi \\ -s\theta & s\phi c\theta & c\phi c\theta \end{bmatrix} \quad (2)$$

مطابق شکل ۲، معادله شکل بسته زنجیره سینماتیکی  $i$ ام به صورت زیر نوشته شده است:

$$\vec{OB} + a\vec{u}_i + l\vec{n}_i = \vec{OM} + \mathcal{R}b\vec{v}'_i \quad (3)$$

که در آن  $a$  و  $b$  به ترتیب اندازه بردارهای  $\vec{BA}_i$  و  $\vec{MB}_i$  هستند. بردارهای تعریف شده در سیستم مختصات متحرک با نماد  $'''$  متمایز می‌شوند. با ضرب نقطه‌ای معادله ۳ در بردار  $\vec{n}_i$  و جایگذاری  $\vec{u}_i$  با  $[\cos \theta_i \ \sin \theta_i \ 0]^T$  خواهیم داشت:

$$E_1 \sin \theta_i + E_2 \cos \theta_i = E_3 \quad (4)$$

که در آن

$$E_1 = 2a(\mathcal{R}b\vec{v}'_i)_y \quad (5)$$

$$E_2 = 2a(\mathcal{R}b\vec{v}'_i)_x \quad (6)$$

$$E_3 = (\mathcal{R}b\vec{v}'_i)_x^2 + (\mathcal{R}b\vec{v}'_i)_y^2 + ((\mathcal{R}b\vec{v}'_i)_z + Z)^2 + a^2 - l^2 \quad (7)$$

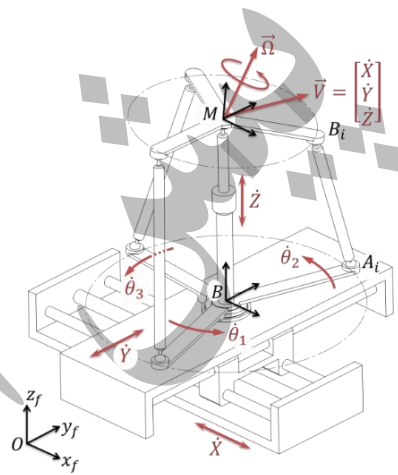
زیرنویس  $k$  که برابر  $x$  یا  $y$  یا  $z$  است، مولفه بردار را نشان می‌دهد. با استفاده از معادلات مثلثاتی مقدار  $\theta_i$  از معادله ۴ استخراج خواهد شد و برابر است با:

$$\theta_i = \tan^{-1}(E_1/E_2) \pm \tan^{-1}\left(\sqrt{E_1^2 + E_2^2 - E_3^2/E_3}\right) \quad (8)$$

دو راه حل ممکن برای هر  $\theta_i$  وجود دارد. لذا با توجه به سه محرک دورانی موجود ۸ جواب برای سینماتیک معکوس ربات هیبریدی وجود دارد.

#### ۴- تحلیل سرعت و شتاب ربات

ماتریس ژاکوبین سرعت‌ها را از فضای مفاصل به مجری نهایی ربات نگاشت می‌کند. در شکل ۳ بردارهای سرعت برای ربات هیبریدی PP-(3RSS-PS) آورده شده است.



شکل ۳: پارامترهای سرعت ربات هیبریدی PP-(3RSS-PS)

با مشتق‌گیری از معادله ۳ و با در نظر گرفتن بردارهای  $\dot{q} = [\dot{X} \ \dot{Y} \ \dot{Z} \ \dot{\theta}_1 \ \dot{\theta}_2 \ \dot{\theta}_3]^T$  و  $\dot{\mathcal{X}} = [\dot{X} \ \dot{Y} \ \dot{Z} \ \Omega_x \ \Omega_y \ \Omega_z]^T$  به عنوان بردار سرعت مفاصل محرک و بردار سرعت مجری نهایی، ماتریس ژاکوبین ربات PP-(3RSS-PS) به صورت زیر بدست می‌آید:

$$\dot{\mathcal{X}} = \mathbf{J}\dot{q}; \quad \mathbf{J} = \mathbf{J}_2^{-1}\mathbf{J}_1 \quad (9)$$

که ماتریس‌های  $\mathbf{J}_1$  و  $\mathbf{J}_2$  به صورت زیر هستند:

$$\mathbf{J}_1 = \begin{bmatrix} \mathbf{I}_{3 \times 3} & & & & & \\ & -n_1^T \vec{k} & a\vec{n}_1^T (\vec{e}_3 \times \vec{u}_1) & 0 & 0 & \\ \mathbf{\Phi}_{3 \times 2} & -n_2^T \vec{k} & 0 & a\vec{n}_2^T (\vec{e}_3 \times \vec{u}_2) & 0 & \\ & -n_3^T \vec{k} & 0 & 0 & a\vec{n}_3^T (\vec{e}_3 \times \vec{u}_3) & \end{bmatrix} \quad (10)$$

$$\mathbf{J}_2 = \begin{bmatrix} \mathbf{I}_{3 \times 3} & \mathbf{0}_{3 \times 3} \\ \mathbf{0}_{3 \times 3} & b(\mathcal{R}b\vec{v}'_1 \times \vec{n}_1)^T \\ & b(\mathcal{R}b\vec{v}'_2 \times \vec{n}_2)^T \\ & b(\mathcal{R}b\vec{v}'_3 \times \vec{n}_3)^T \end{bmatrix} \quad (11)$$

در معادلات ۱۰ و ۱۱، ماتریس‌های  $\mathbf{I}$  و  $\mathbf{0}$  به ترتیب نشان دهنده ماتریس‌های صفر و همانی هستند. سرعت زاویه‌ای لینک‌های میانی یا همان  $\vec{\omega}_i$  نیز از رابطه زیر بدست می‌آید،

$$\vec{\omega}_i = \frac{1}{l} [\dot{Z}\vec{n}_i \times \vec{e}_3 + b\vec{n}_i \times (\vec{\Omega} \times \mathcal{R}\vec{v}'_i) - a\theta_i \vec{n}_i \times (\vec{e}_3 \times \vec{u}_i)] \quad (12)$$

برای بدست آوردن معادلات دینامیکی، می‌بایست مشتق دوم موقعیت و جهت‌گیری تمامی قطعات متحرک محاسبه گردد. پس از ساده‌سازی، معادله شتاب بین اجزای ربات را می‌توان به صورت زیر بیان کرد،

$$\ddot{\theta}_i = \frac{1}{a\vec{n}_i \cdot (\vec{e}_3 \times \vec{u}_i)} \left\{ a\dot{\theta}_i^2 (\vec{n}_i \cdot \vec{u}_i) - l\vec{n}_i \cdot (\vec{\omega}_i \times (\vec{\omega}_i \times \vec{n}_i)) + \ddot{Z}(\vec{n}_i \cdot \vec{e}_3) + b\vec{n}_i \cdot (\vec{\Omega} \times \mathcal{R}\vec{v}'_i) + b\vec{n}_i \cdot (\vec{\Omega} \times (\vec{\Omega} \times \mathcal{R}\vec{v}'_i)) \right\} \quad (13)$$

$$\vec{\alpha}_i = \frac{1}{l} \left\{ \ddot{Z}(\vec{n}_i \times \vec{e}_3) + b\vec{n}_i \times (\vec{\Omega} \times \mathcal{R}\vec{v}'_i) + b\vec{n}_i \times (\vec{\Omega} \times (\vec{\Omega} \times \mathcal{R}\vec{v}'_i)) + a\dot{\theta}_i^2 (\vec{n}_i \times \vec{u}_i) - l\vec{n}_i \times (\vec{\omega}_i \times (\vec{\omega}_i \times \vec{n}_i)) - a\ddot{\theta}_i \vec{n}_i \times (\vec{e}_3 \times \vec{u}_i) \right\} \quad (14)$$

که در آن  $\ddot{\theta}_i$  شتاب زاویه‌ای لامین محرک دورانی،  $\vec{\alpha}_i$  شتاب زاویه‌ای لامین لینک میانی و  $\vec{\Omega}$  شتاب زاویه‌ای صفحه متحرک ربات است.

## ۵- تحلیل دینامیک ربات

هدف از مسئله دینامیک معکوس ربات یافتن نیروهای مورد نیاز محرک‌ها برای پیمایش یک مسیر معین است. روش‌های مختلفی برای بدست آوردن معادلات دینامیکی یک ربات وجود دارد. در سال ۱۸۷۹ [۲۵] گیس روش مبتنی بر روش‌های انرژی ارائه کرد که توسط Appell در سال ۱۸۹۹ توسعه یافت [۲۶]. فرمول گیس-آپل در سیستم‌های غیرهولونومیک در مقایسه با روش لاگرانژ برتری دارد، زیرا سرعت مختصات تعمیم‌یافته را به همراه مشتقات آنها جایگزین می‌کند. شکل کلی معادله گیس-آپل به صورت زیر است،

$$S = \frac{1}{2} m(\vec{a}_A \cdot \vec{a}_A) + \frac{1}{2} \left( \vec{\alpha} \cdot \frac{\partial \vec{H}_A}{\partial t} \right) + \vec{\alpha} \cdot (\vec{\omega} \times \vec{H}_A) + m\vec{a}_A \cdot (\vec{\alpha} \times \vec{r}_{G/A}) + m\vec{a}_A \cdot [\vec{\omega} \times (\vec{\omega} \times \vec{r}_{G/A})] \quad (15)$$

همانطور که مشاهده می‌شود، بخش‌های مختلف معادله گیس-آپل مشابه تابع انرژی جنبشی است. به همین دلیل به عنوان تابع انرژی شتاب نیز شناخته می‌شود که در معادله فوق  $A$  یک نقطه دلخواه از جسم صلب،  $m$  جرم جسم صلب،  $\vec{a}_A$  بردار شتاب خطی نقطه  $A$  و  $\vec{\alpha}$  بردار شتاب زاویه‌ای جسم صلب است.  $\vec{H}_A$  تکانه زاویه‌ای جسم صلب حول نقطه  $A$ ،  $\vec{\omega}$  بردار سرعت زاویه‌ای جسم صلب و  $\vec{r}_{G/A}$  بردار موقعیت مرکز جرم جسم صلب نسبت به نقطه  $A$  است.

برای مشخص کردن حرکت ربات باید مجموعه‌ای از مختصات تعمیم یافته انتخاب شود. در مورد ربات هیبریدی (PP-(3RSS-PS)) مختصات تعمیم یافته به صورت بردار  $\mathbf{q} = [X \ Y \ Z \ \theta_1 \ \theta_2 \ \theta_3]^T$  تعریف می‌شوند. برای یافتن نیروهای تعمیم یافته حاکم بر حرکت ربات مربوط به هر مختصات تعمیم یافته، ابتدا معادله گیس-آپل برای هر یک از اجزای متحرک ربات تشکیل می‌شود. سپس مشتق این معادلات با توجه به شتاب مختصات تعمیم یافته مورد نظر محاسبه می‌شود. با مجموع مشتقات جزئی به دست آمده، معادله نیروهای تعمیم یافته به صورت زیر محاسبه می‌شود،

$$Q_i = \frac{\partial S_{P_1}}{\partial \dot{q}_i} + \frac{\partial S_{P_2}}{\partial \dot{q}_i} + \frac{\partial S_{P_3}}{\partial \dot{q}_i} + \sum_{j=1}^3 \frac{\partial S_a^j}{\partial \dot{q}_i} + \sum_{j=1}^3 \frac{\partial S_l^j}{\partial \dot{q}_i} + \frac{\partial S_P}{\partial \dot{q}_i} \quad (16)$$

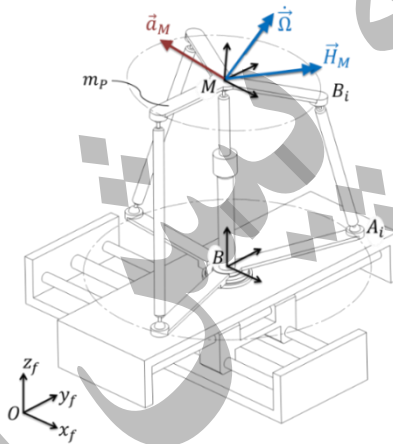
در معادله ۱۶ تابع انرژی شتاب محرکها در راستای  $X$ ،  $Y$  و  $Z$  به ترتیب با  $S_{P_1}$ ،  $S_{P_2}$  و  $S_{P_3}$  نشان داده شده است. علاوه بر این، تابع انرژی شتاب برای زامین محرک دورانی با  $S_a^j$  و برای زامین لینک میانی با  $S_l^j$  و با  $S_P$  برای صفحه متحرک نشان داده شده است. همچنین نیروی تعمیم یافته مربوط به زامین مختصات تعمیم یافته است که برابر است با

$$Q = [F_{e_1} \ F_{e_2} \ F_{e_3} \ \tau_1 \ \tau_2 \ \tau_3]^T \quad (17)$$

که در آن  $F_{e_i}$  نیروی اعمال شده در امتداد  $\vec{e}_i$  و  $\tau_i$  گشتاور اعمال شده به هر لینک دوار است. در بخش زیر مشتق تابع انرژی شتاب برای هر یک از اجزای ربات با توجه به مختصات تعمیم یافته شتاب مورد بررسی قرار می گیرد.

### ۵-۱- تحلیل معادلات گیبس-آپل برای صفحه متحرک

بردارهای مرتبط با پارامترهای معادله گیبس-آپل برای صفحه متحرک در شکل ۴ نشان داده شده است که شامل بردار شتاب خطی  $\vec{a}_M$  بردار شتاب زاویه‌ای  $\dot{\vec{\Omega}}$  و تکانه زاویه‌ای متحرک حول مرکز جرم آن  $\vec{H}_M$  است.



شکل ۴: پارامترهای گیبس-آپل برای صفحه متحرک ربات

برای به دست آوردن معادله گیبس-آپل صفحه متحرک، مرکز جرم  $M$  به عنوان نقطه دلخواه در نظر گرفته می شود. بنابراین، تابع انرژی شتاب برای صفحه متحرک ربات برابر است با،

$$S_P = \frac{1}{2} m_p (\vec{a}_M \cdot \vec{a}_M) + \frac{1}{2} \dot{\vec{\Omega}} \cdot \frac{\partial (\vec{H}_M)}{\partial t} + \dot{\vec{\Omega}} \cdot (\vec{\Omega} \times \vec{H}_M) \quad (18)$$

که در آن  $m_p$  جرم صفحه متحرک و بردار شتاب نقطه  $M$  برابر  $\vec{a}_M = [\ddot{X} \ \ddot{Y} \ \ddot{Z}]^T$  است. مشتق تکانه زاویه‌ای نسبت به زمان به صورت زیر بیان می شود،

$$\frac{\partial (\vec{H}_M)}{\partial t} = \frac{\partial ({}^B \mathbf{I}_P \dot{\vec{\Omega}})}{\partial t} = {}^B \mathbf{I}_P \ddot{\vec{\Omega}} + \dot{\vec{\Omega}} \times {}^B \mathbf{I}_P \dot{\vec{\Omega}} \quad (19)$$

که در آن  ${}^B \mathbf{I}_P$  تانسور اینرسی صفحه متحرک است که در سیستم مختصات پایه  $\{B\}$  بیان شده است. پس از جایگزینی معادله ۱۹ در معادله ۱۸، مشتق تابع انرژی شتاب صفحه متحرک بر حسب شتاب مختصات تعمیم یافته برابر است با،

$$\frac{\partial S_P}{\partial \dot{q}_i} = m_p \left( \vec{a}_M \cdot \frac{\partial \vec{a}_M}{\partial \dot{q}_i} \right) + \frac{\partial \dot{\vec{\Omega}}}{\partial \dot{q}_i} \cdot {}^B \mathbf{I}_P \dot{\vec{\Omega}} + \frac{3}{2} \frac{\partial \dot{\vec{\Omega}}}{\partial \dot{q}_i} \cdot (\dot{\vec{\Omega}} \times {}^B \mathbf{I}_P \dot{\vec{\Omega}}) \quad (20)$$

مشتق شتاب خطی صفحه متحرک نسبت به شتاب مختصات تعمیم یافته به شرح زیر است،

$$\frac{\partial \vec{a}_M}{\partial \dot{q}_i} = \vec{e}_i; \text{ for } i = 1, 2, 3, \quad \frac{\partial \vec{a}_M}{\partial \dot{q}_i} = 0; \text{ for } i = 4, 5, 6 \quad (21)$$

همانطور که قبلاً گفته شد، بردار  $\vec{e}_i$ ، ناامین بردار واحد دستگاه مختصات پایه  $\{B\}$  است. به منظور محاسبه  $\partial \vec{\Omega} / \partial \dot{q}_i$  ماتریس ژاکوبین باید مورد بازبینی قرار گیرد. از سینماتیک ربات مشخص است که جهت‌گیری صفحه متحرک به حرکت بخش موازی ربات بستگی دارد. بنابراین، سرعت زاویه ای صفحه متحرک  $\vec{\Omega}$  را می‌توان به صورت زیر نوشت،

$$\vec{\Omega} = \mathbf{J}_{4:6,3:6} \dot{q}^* \quad (22)$$

که در آن  $\dot{q}^* = [\dot{Z} \quad \dot{\theta}_1 \quad \dot{\theta}_2 \quad \dot{\theta}_3]^T$  و  $\mathbf{J}_{m:n,p;q}$  بخشی از ماتریس ژاکوبین شامل ردیف‌هایی از  $m$  تا  $n$  و ستون‌هایی از  $p$  تا  $q$  است. با مشتق‌گیری از معادله ۲۲ شتاب زاویه‌ای صفحه متحرک بر حسب مشتقات مختصات تعمیم یافته بدست می‌آید.

$$\dot{\vec{\Omega}} = \mathbf{J}_{4:6,3:6} \ddot{q}^* + \dot{\mathbf{J}}_{4:6,3:6} \dot{q}^* \quad (23)$$

با استفاده از معادله‌های بالا، معادله ۲۰ برای هر مختصات تعمیم یافته به صورت معادلات ۲۴ تا ۲۹ محاسبه می‌شود.

$$\frac{\partial S_P}{\partial \dot{q}_1} = \frac{\partial S_P}{\partial \dot{X}} = m_P \dot{X} \quad (24)$$

$$\frac{\partial S_P}{\partial \dot{q}_2} = \frac{\partial S_P}{\partial \dot{Y}} = m_P \dot{Y} \quad (25)$$

$$\frac{\partial S_P}{\partial \dot{q}_3} = \frac{\partial S_P}{\partial \dot{Z}} = m_P \dot{Z} + \mathbf{J}_{4:6,1}^T \left( {}^B \mathbf{I}_P \dot{\vec{\Omega}} \right) + \frac{3}{2} \mathbf{J}_{4:6,1}^T \left( \vec{\Omega} \times {}^B \mathbf{I}_P \vec{\Omega} \right) \quad (26)$$

$$\frac{\partial S_P}{\partial \dot{q}_4} = \frac{\partial S_P}{\partial \dot{\theta}_1} = \mathbf{J}_{4:6,2}^T \left( {}^B \mathbf{I}_P \dot{\vec{\Omega}} \right) + \frac{3}{2} \mathbf{J}_{4:6,2}^T \left( \vec{\Omega} \times {}^B \mathbf{I}_P \vec{\Omega} \right) \quad (27)$$

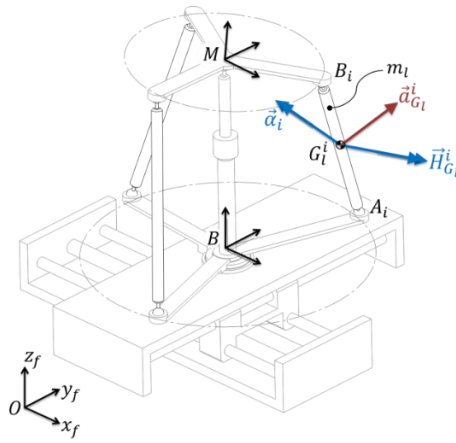
$$\frac{\partial S_P}{\partial \dot{q}_5} = \frac{\partial S_P}{\partial \dot{\theta}_2} = \mathbf{J}_{4:6,3}^T \left( {}^B \mathbf{I}_P \dot{\vec{\Omega}} \right) + \frac{3}{2} \mathbf{J}_{4:6,3}^T \left( \vec{\Omega} \times {}^B \mathbf{I}_P \vec{\Omega} \right) \quad (28)$$

$$\frac{\partial S_P}{\partial \dot{q}_6} = \frac{\partial S_P}{\partial \dot{\theta}_3} = \mathbf{J}_{4:6,4}^T \left( {}^B \mathbf{I}_P \dot{\vec{\Omega}} \right) + \frac{3}{2} \mathbf{J}_{4:6,4}^T \left( \vec{\Omega} \times {}^B \mathbf{I}_P \vec{\Omega} \right) \quad (29)$$

## ۵-۲- تحلیل معادلات گیس-آپل برای لینک‌های میانی

در شکل ۵ پارامترهای بردارهای معادله گیس-آپل یک لینک میانی با مرکز جرم  $G_l^i$  نشان داده شده است. همچنین شتاب خطی و زاویه‌ای لینک به ترتیب با  $\vec{a}_{G_l^i}^i$  و  $\vec{\alpha}_i$  نشان داده شده است.





شکل ۵: پارامترهای گیسس-آپل برای لینک‌های میانی ربات

در ادامه، برای بدست آوردن تابع گیسس-آپل لینک میانی  $j$ ام، همان روش قسمت قبل تکرار می‌شود. شکل کلی معادله به صورت زیر است،

$$S_l^j = \frac{1}{2} m_l (\vec{a}_{G_l^j} \cdot \vec{a}_{G_l^j}) + \frac{1}{2} \vec{\alpha}_j \cdot \frac{\partial (\vec{H}_{G_l^j}^j)}{\partial t} + \vec{\alpha}_j \cdot (\vec{\omega}_j \times \vec{H}_{G_l^j}^j) \quad (30)$$

که در آن  $m_l$  جرم هر لینک میانی و  $\vec{H}_{G_l^j}^j$  تکانه زاویه‌ای زمین لینک میانی حول مرکز جرم آن است. عبارت  $\partial S_l^j / \partial \dot{q}_i$  به صورت زیر محاسبه می‌شود،

$$\frac{\partial S_l^j}{\partial \dot{q}_i} = m_l \left( \vec{a}_{G_l^j} \cdot \frac{\partial \vec{a}_{G_l^j}}{\partial \dot{q}_i} \right) + \frac{\partial \vec{\alpha}_j}{\partial \dot{q}_i} \cdot {}^B \mathbf{I}_l^j \vec{\alpha}_j + \frac{3}{2} \frac{\partial \vec{\alpha}_j}{\partial \dot{q}_i} \cdot (\vec{\omega}_j \times {}^B \mathbf{I}_l^j \vec{\omega}_j) \quad (31)$$

که در آن  ${}^B \mathbf{I}_l^j$  تانسور اینرسی زمین لینک میانی است که در سیستم مختصات پایه  $\{B\}$  تعریف شده است. با ایجاد رابطه بین شتاب نقاط  $A_j$  و  $G_l^j$  می‌توان شتاب خطی مرکز جرم لینک میانی را بدست آورد.

$$\vec{a}_{A_j} = \ddot{X} \vec{e}_1 + \ddot{Y} \vec{e}_2 + \ddot{\theta}_j \vec{e}_3 \times \overline{BA_j} + \dot{\theta}_j \vec{e}_3 \times (\dot{\theta}_j \vec{e}_3 \times \overline{BA_j}) \quad (32)$$

$$\vec{a}_{G_l^j/A_j} = \vec{\alpha}_j \times \overline{A_j G_l^j} + \vec{\omega}_j \times (\vec{\omega}_j \times \overline{A_j G_l^j}) \quad (33)$$

$$\vec{a}_{G_l^j} = \vec{a}_{A_j} + \vec{a}_{G_l^j/A_j} \quad (34)$$

عبارت  $\partial \vec{a}_{G_l^j} / \partial \dot{q}_i$  برای هر یک از مختصات تعمیم یافته برابر است با،

$$\frac{\partial \vec{a}_{G_l^j}}{\partial \dot{q}_i} = \begin{cases} \vec{e}_i & ; \text{for } i = 1, 2 \\ \frac{\partial \dot{\theta}_j}{\partial \dot{q}_i} \vec{e}_3 \times \overline{BA_j} + \frac{\partial \vec{\alpha}_j}{\partial \dot{q}_i} \overline{A_j G_l^j} & ; \text{for } i = 3, \dots, 6 \end{cases} \quad (35)$$

با استفاده از  $\vec{\alpha}_j$  و  $\dot{\theta}_j$  بدست آمده توسط معادلات ۱۳ و ۱۴، مشتق دوم آنها نسبت به مختصات تعمیم یافته را می‌توان به صورت زیر محاسبه کرد،

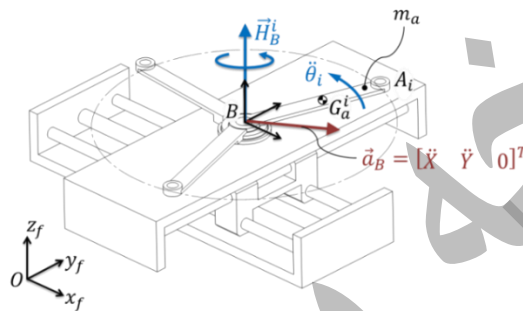
$$\frac{\partial \dot{\theta}_j}{\partial \dot{q}_i} = \frac{1}{a \vec{n}_j \cdot (\vec{e}_3 \times \vec{u}_j)} \left\{ \vec{n}_j \cdot \vec{e}_3 + b \vec{n}_j \cdot \left( \frac{\partial \vec{\Omega}}{\partial \dot{q}_i} \times \mathcal{R} \vec{v}_j' \right) \right\} \quad (36)$$

$$\frac{\partial \vec{\alpha}_j}{\partial \dot{q}_i} = \frac{1}{l} \left\{ \vec{n}_j \times \vec{e}_3 + b \vec{n}_j \times \left( \frac{\partial \vec{\Omega}}{\partial \dot{q}_i} \times \mathcal{R} \vec{v}'_j \right) - a \frac{\partial \dot{\theta}_j}{\partial \dot{q}_i} \vec{n}_j \times (\vec{e}_3 \times \vec{u}_j) \right\} \quad (37)$$

با جایگزینی معادلات ۳۴ تا ۳۷ در معادله ۳۱ و با حل آن برای هر مختصات تعمیم یافته، آن عباراتی که مرتبط با نیروهای تعمیم یافته هستند برای لینک‌های میانی بدست می‌آید.

### ۳-۵- تحلیل معادلات گیبس-آپل برای لینک‌های محرک دوار

لینک‌های ربات متصل به محرک‌های دوار در شکل ۶ نشان داده شده است. جرم هر لینک دوار با  $m_a$  نشان داده شده است و نقطه  $G_a^i$  مرکز جرم لینک نام را نشان می‌دهد. متغیرهای  $\vec{H}_B^i$  و  $\dot{\theta}_i$  به ترتیب شتاب زاویه‌ای و تکانه زاویه‌ای هر لینک حول محور چرخششان هستند. شتاب نقطه  $B$  که در واقع همان نقطه دلخواه در مشتقات معادله گیبس-آپل است، نیز در شکل نشان داده شده است.



شکل ۶: پارامترهای گیبس-آپل برای لینک‌های محرک دوار ربات

تابع انرژی شتاب لینک دوار نام در معادله ۳۸ آورده شده است.

$$S_a^j = \frac{1}{2} m_a (\vec{a}_B \cdot \vec{a}_B) + \frac{1}{2} \dot{\theta}_j \vec{e}_3 \cdot \frac{\partial \vec{H}_B^j}{\partial t} + m_a \vec{a}_B \cdot (\dot{\theta}_j \vec{e}_3 \times \overline{BG_a^j}) + m_a \vec{a}_B \cdot [\dot{\theta}_j \vec{e}_3 \times (\dot{\theta}_j \vec{e}_3 \times \overline{BG_a^j})] \quad (38)$$

در نتیجه مشتق تابع انرژی شتاب نسبت به مختصات تعمیم یافته به صورت معادلات زیر بیان می‌شود،

$$\frac{\partial S_a^j}{\partial \dot{q}_1} = \frac{\partial S_a^j}{\partial \dot{X}} = m_a \dot{X} + m_a \vec{e}_1 \cdot (\dot{\theta}_j \vec{e}_3 \times \overline{BG_a^j}) + m_a \vec{e}_1 \cdot (\dot{\theta}_j \vec{e}_3 \times (\dot{\theta}_j \vec{e}_3 \times \overline{BG_a^j})) \quad (39)$$

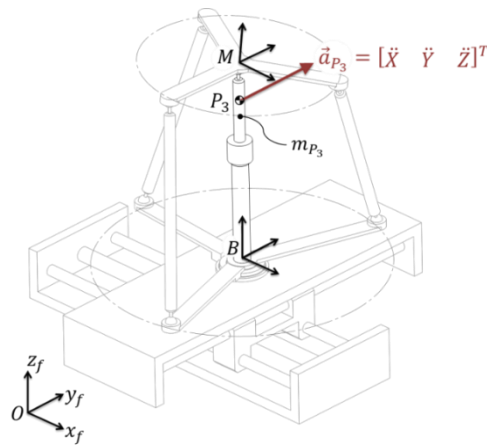
$$\frac{\partial S_a^j}{\partial \dot{q}_2} = \frac{\partial S_a^j}{\partial \dot{Y}} = m_a \dot{Y} + m_a \vec{e}_2 \cdot (\dot{\theta}_j \vec{e}_3 \times \overline{BG_a^j}) + m_a \vec{e}_2 \cdot (\dot{\theta}_j \vec{e}_3 \times (\dot{\theta}_j \vec{e}_3 \times \overline{BG_a^j})) \quad (40)$$

$$\frac{\partial S_a^j}{\partial \dot{q}_3} = \frac{\partial S_a^j}{\partial \dot{Z}} = I_{a_j}^z \dot{\theta}_j \frac{\partial \dot{\theta}_j}{\partial \dot{Z}} + m_a \vec{a}_B \cdot \left( \frac{\partial \dot{\theta}_j}{\partial \dot{Z}} \vec{e}_3 \times \overline{BG_a^j} \right) \quad (41)$$

$$\frac{\partial S_a^j}{\partial \dot{q}_i} = I_{a_j}^z \dot{\theta}_j \frac{\partial \dot{\theta}_j}{\partial \dot{q}_i} + m_a \vec{a}_B \cdot \left( \frac{\partial \dot{\theta}_j}{\partial \dot{q}_i} \vec{e}_3 \times \overline{BG_a^j} \right); \quad for \ i = 4, 5, 6 \quad (42)$$

### ۴-۵- تحلیل معادلات گیبس-آپل برای سیلندر مرکزی

در شکل ۷ مرکز جرم سیلندر یا همان نقطه  $P_3$  و بردار شتاب آن نیز نشان داده شده است.



شکل ۷: پارامترهای گیس-آپل برای سیلندر مرکزی ربات

تابع انرژی شتاب سیلندر به صورت زیر بدست می آید:

$$S_{P_3} = \frac{1}{2} m_{P_3} (\vec{a}_{P_3} \cdot \vec{a}_{P_3}) \quad (43)$$

که  $m_{P_3}$  جرم سیلندر مرکزی و  $\vec{a}_{P_3}$  بردار شتاب خطی آن است. با محاسبه مشتق دوم معادله ۴۵ نسبت به شتاب مختصات تعمیم یافته، معادله ۵۰ بدست خواهد آمد.

$$\frac{\partial S_{P_3}}{\partial \ddot{q}_i} = m_{P_3} \left( \vec{a}_{P_3} \cdot \frac{\partial \vec{a}_{P_3}}{\partial \ddot{q}_i} \right) \quad (44)$$

در ادامه معادله ۴۴ نسبت به هر مختصات تعمیم یافته گسترش می یابد که در معادلات ۴۵ تا ۴۸ آورده شده است.

$$\frac{\partial S_{P_3}}{\partial \ddot{q}_i} = \frac{\partial S_{P_3}}{\partial \ddot{X}} = m_{P_3} \ddot{X} \quad (45)$$

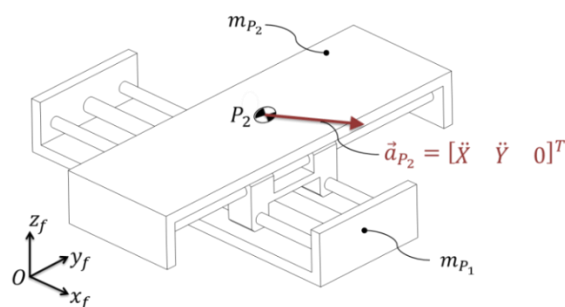
$$\frac{\partial S_{P_3}}{\partial \ddot{q}_i} = \frac{\partial S_{P_3}}{\partial \ddot{Y}} = m_{P_3} \ddot{Y} \quad (46)$$

$$\frac{\partial S_{P_3}}{\partial \ddot{q}_i} = \frac{\partial S_{P_3}}{\partial \ddot{Z}} = m_{P_3} \ddot{Z} \quad (47)$$

$$\frac{\partial S_{P_3}}{\partial \ddot{q}_i} = 0, \quad \text{for } i=3, \dots, 6 \quad (48)$$

#### ۴-۵- تحلیل معادلات گیس-آپل برای میز XY

دو مازول خطی عمود بر هم که حرکت در راستای X و Y را ایجاد می کند با مرکز جرم های  $P_1$  و  $P_2$  در شکل ۸ نشان داده شده است. مازولی که در جهت X حرکت می کند با  $z = 1$  و دیگری با  $z = 2$  شناخته می شود.



شکل ۸: پارامترهای گیس-آپل برای میز XY

از آنجایی که میز XY دارای یک حرکت خطی است، تابع انرژی شتاب برای هر ماژول را می‌توان به صورت زیر محاسبه کرد،

$$S_{P_j} = \frac{1}{2} m_{P_j} (\vec{a}_{P_j} \cdot \vec{a}_{P_j}) \quad (49)$$

که در آن جرم هر ماژول خطی و  $\vec{a}_{P_j}$  بردار شتاب مرکز جرم آن‌ها است. مشتق انرژی شتاب ماژول Y نسبت به شتاب مختصات تعمیم یافته به صورت زیر بیان می‌شود،

$$\frac{\partial S_{P_2}}{\partial \ddot{q}_i} = m_{P_2} \left( \vec{a}_{P_2} \cdot \frac{\partial \vec{a}_{P_2}}{\partial \ddot{q}_i} \right) \quad (50)$$

معادله ۵۰ برای هر یک از مختصات تعمیم یافته به صورت جداگانه در معادلات ۵۱ تا ۵۳ بسط داده شده است.

$$\frac{\partial S_{P_2}}{\partial \ddot{q}_1} = \frac{\partial S_{P_2}}{\partial \ddot{X}} = m_{P_2} \ddot{X} \quad (51)$$

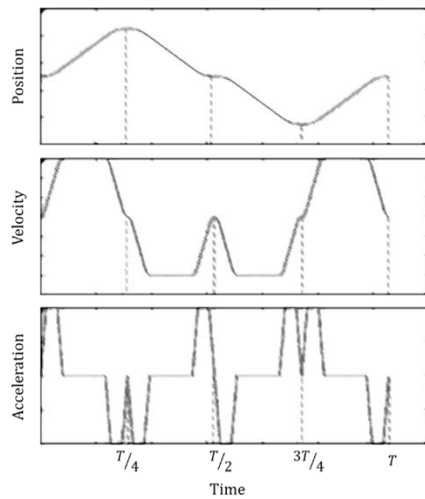
$$\frac{\partial S_{P_2}}{\partial \ddot{q}_2} = \frac{\partial S_{P_2}}{\partial \ddot{Y}} = m_{P_2} \ddot{Y} \quad (52)$$

$$\frac{\partial S_{P_2}}{\partial \ddot{q}_i} = 0, \quad \text{for } i = 3, \dots, 6 \quad (53)$$

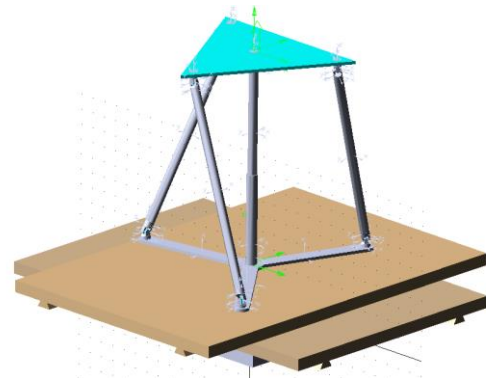
با اعمال همین رویه برای ماژول خطی در جهت X، مقدار  $\partial S_{P_1} / \partial \ddot{q}_i$  برای هر مختصات تعمیم یافته نیز بدست می‌آید.

## ۶- شبیه‌سازی و اعتبارسنجی نتایج

برای اطمینان از حل صحیح معادلات دینامیکی ربات (3RSS-PP)، نتایج مدل تئوری با نتایج شبیه‌سازی شده در نرم‌افزار مدل‌سازی دینامیکی ADAMS مقایسه شده است. شکل ۹-الف مدل شبیه‌سازی شده در نرم‌افزار ADAMS را نشان می‌دهد. به منظور ایجاد یک شبیه‌سازی مناسب برای ربات هیبریدی مورد نظر، شش مسیر در فضای کاری کارترین تعریف شده است. مسیر برای هر درجه آزادی نسبت به سیستم مختصات پایه به این صورت تعریف می‌شود که، ابتدا ربات در جهت مثبت از موقعیت اولیه خود تا حد انتهای درجه آزادی متناظر حرکت می‌کند. در طی این حرکت ربات به حداکثر سرعت و شتاب خود نیز می‌رسد. سپس ربات با همان ویژگی‌های حرکتی به حالت اولیه بر می‌گردد. با تکرار متوالی مسیر دو مرحله‌ای در جهت مخالف، ربات به طور کامل فضای کاری تک درجه آزادی خود را طی می‌کند [۲۷]. شکل ۹-ب نمودارهای موقعیت، سرعت و شتاب مجری نهایی ربات را برای هر یک از مسیرها نشان می‌دهد.



(ب)



(لف)

شکل ۹: الف) مدل شبیه‌سازی شده در نرم‌افزار ADAMS، ب) مسیر طراحی شده برای مجری نهایی ربات هیبریدی PP-(3RSS-PS)

با توجه به روش ذکر شده، مسیر هر درجه آزادی با استفاده از حداکثر مقادیر مورد نظر برای موقعیت، سرعت و شتاب مندرج در جدول ۱ به دست خواهد آمد.

جدول ۱: مسیر طراحی شده برای مجری نهایی ربات هیبریدی PP-(3RSS-PS)

Yaw	Pitch	Roll	Heave	Sway	Surge	درجه آزادی
$\pm 24$	$\pm 8$	$\pm 8$	$\pm 4$	$\pm 9$	$\pm 9$	موقعیت ( $^{\circ}$ ) (cm)
42	13	13	6	15	15	سرعت ( $^{\circ}/s$ ) (cm/s)
280	88	88	40	100	100	شتاب ( $^{\circ}/s^2$ ) (cm/s <sup>2</sup> )

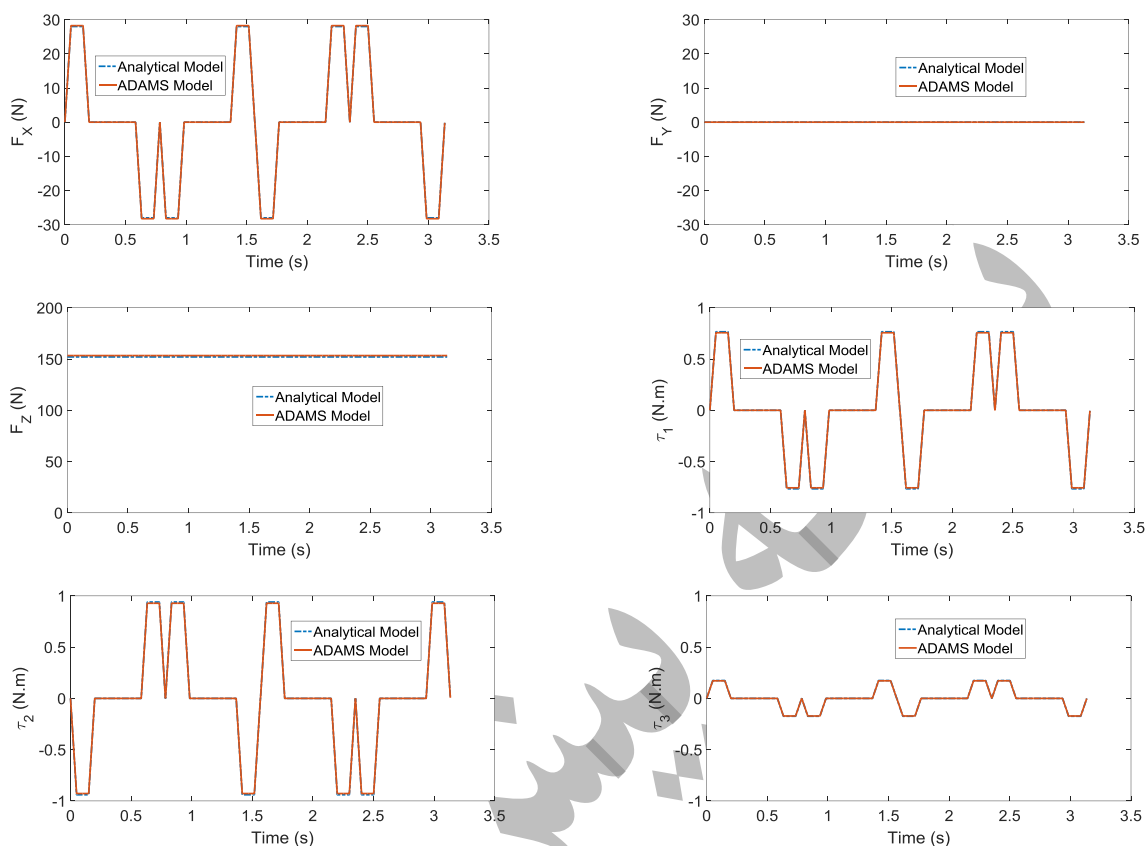
مقادیر پارامترهای سینماتیکی و دینامیکی ربات برای شبیه‌سازی در جدول ۲ آورده شده است. لازم به ذکر است که ممان اینرسی با توجه به محورهای اصلی برای هر عضو متحرک بیان شده است.

جدول ۲: پارامترهای سینماتیکی و دینامیکی ربات هیبریدی PP-(3RSS-PS)

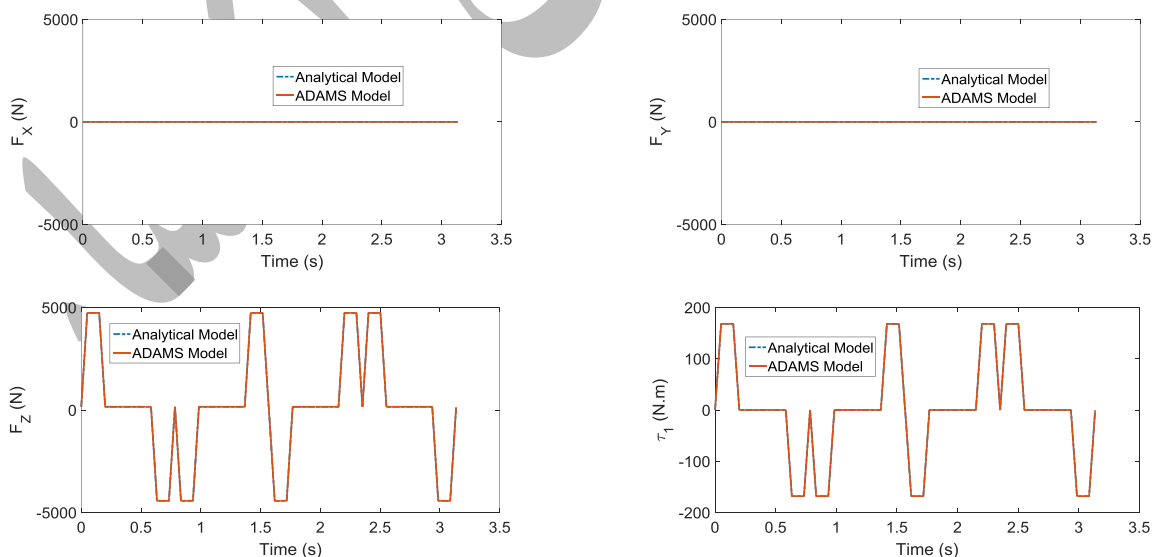
مقدار	پارامتر	عضو متحرک ربات	مقدار	پارامتر	عضو متحرک ربات
$\{1.00 \text{ (kg)}\}$ $\{1.00 \text{ (kg)}\}$	$\{m_{P_1}\}$ $\{m_{P_2}\}$	میز X و Y	0.40 (m)	a	لینک‌های دوار
$\{2.00 \text{ (kg)}\}$ $\{0.50 \text{ (kg.m}^2)\}$	$\{m_a\}$ $\{I_a^z\}$	لینک‌های دوار	0.70 (m)	l	لینک‌های میانی
$\{3.00 \text{ (kg)}\}$ $\{\text{diag}(2, 2, 2) \text{ (kg.m}^2)\}$	$\{m_l\}$ $\{N I_l\}$	لینک‌های میانی	0.27 (m)	b	صفحه متحرک
$\{10.00 \text{ (kg)}\}$ $\{\text{diag}(100, 100, 100) \text{ (kg.m}^2)\}$	$\{m_P\}$ $\{M I_P\}$	صفحه متحرک			

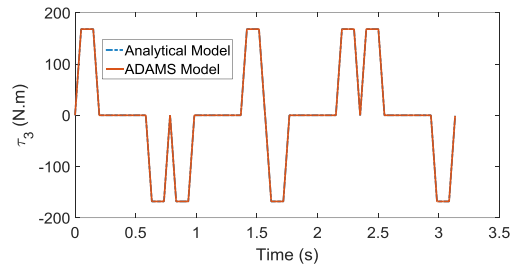
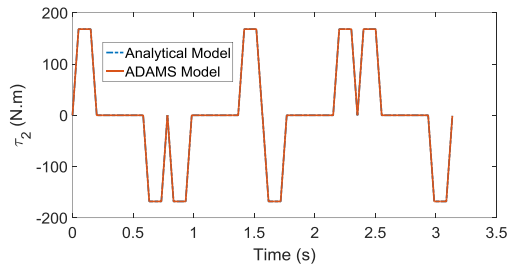
به منظور خلاصه‌سازی در ادامه نمودار نیروها و گشتاورهای محرک‌های ربات برای درجه آزادی انتقالی Surge و برای درجه آزادی دورانی Yaw به صورت جداگانه برای حل تئوری و مدل شبیه‌سازی آورده شده است. همانطور که مشاهده می‌شود، نیروی محرک

ربات سریال در محور عمود بر جهت مسیر حرکت برابر با صفر است در حالی که برای ربات موازی برای انجام کامل یک مسیر لازم است که تمام محرک‌ها نیرویی اعمال کنند. از مقایسه دو حل موجود مشاهده می‌شود تحلیل دینامیک ربات هیبریدی  $PP-(3RSS-PS)$  به درستی انجام شده است.



شکل ۱۰: نمودار نیروها و گشتاورهای مورد نیاز برای محرک‌های ربات هیبریدی  $PP-(3RSS-PS)$  در مسیر حرکتی Surge





شکل ۱۱: نمودار نیروها و گشتاورهای مورد نیاز برای محرک‌های ربات هیبریدی PP-(3RSS-PS) در مسیر حرکتی Yaw

به منظور مقایسه بین نتایج تحلیلی و شبیه‌سازی میانگین توان دوم خطاها<sup>۱</sup> (MSE) برای هر کدام از عملگرها و به عنوان نمونه فقط برای مسیر Yaw به صورت جداگانه محاسبه شده است و نتایج آن در جدول ۳ آورده شده است. برای بدست آوردن میانگین توان دوم خطا از یک مجموعه‌ای که دارای  $n$  داده است می‌توان از رابطه زیر استفاده کرد،

$$MSE = \frac{1}{n} \sum_{i=1}^n (Y_i - \hat{Y}_i)^2 \quad (54)$$

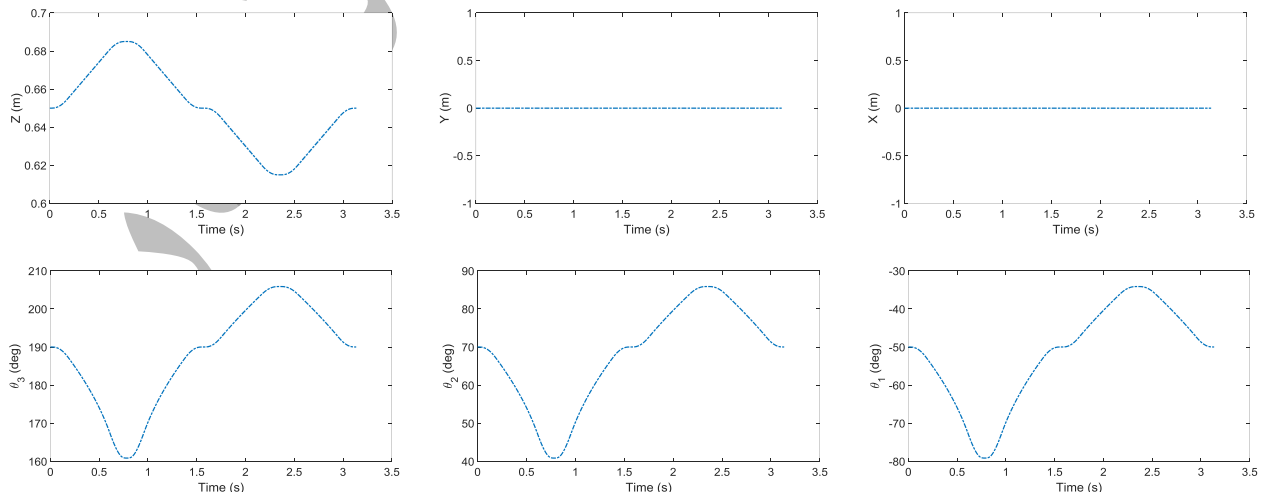
که در آن  $(Y_i - \hat{Y}_i)^2$  مقدار مربع خطای هر داده را محاسبه می‌کند.

جدول ۳: مقدار میانگین توان دوم خطاهای عملگرهای ربات هیبریدی برای مسیر Yaw

$\tau_3$	$\tau_2$	$\tau_1$	$F_z$	$F_y$	$F_x$	عملگر مربوطه
$3.46 \times 10^{-5}$	$3.67 \times 10^{-5}$	$3.62 \times 10^{-5}$	$5.31 \times 10^{-11}$	$3.22 \times 10^{-11}$	$4.13 \times 10^{-11}$	MSE

با توجه به مقادیر بدست آمده مشاهده می‌شود نتایج شبیه‌سازی و تحلیلی از مطابقت خوبی با هم برخوردار هستند.

لازم به ذکر است دقت شود عملگرهای خطی و دورانی ربات هیبریدی معرفی شده به طور مستقیم تاثیر حرکتی خود را در حرکت درجات آزادی ربات نشان می‌دهند. این بدان منظور است که به عنوان مثال در راستای حرکتی Heave علاوه بر نقش موثر عملگر خطی میانی سه عملگر دورانی ربات نیز می‌بایست حرکت کنند تا مجری نهایی ربات حرکتی در راستای Z داشته باشد. شکل ۱۲ نحوه حرکتی عملگرهای خطی و دورانی ربات را به ازای حرکت در راستای Heave نشان می‌دهد.



شکل ۱۲: موقعیت عملگرهای خطی و دورانی ربات هیبریدی به ازای حرکت در راستای Heave

<sup>۱</sup> Mean Squared Error

## ۷- نتیجه گیری

نتایج شبیه‌سازی با استفاده از خروجی‌های نرم‌افزار ADAMS در شش مسیر مشخص، صحت مدل دینامیکی بدست آمده را ثابت کرده‌اند. در نتیجه می‌توان از مدل‌های تحلیلی و شبیه‌سازی به جای یکدیگر استفاده کرد. صریح بودن روش گیبس-آپل، استخراج معادلات و تولید کد برنامه نویسی را آسان کرده است زیرا از یک تابع ثابت برای محاسبه دینامیک هر قسمت به طور جداگانه استفاده می‌شود. چیزی که این ربات را نسبت به سایر ربات‌ها متمایز می‌کند، فضای کاری ماژولار مستقل  $X$  و  $Y$  و حرکت یاب نامحدود با طراحی فشرده آن است. این ویژگی‌های ذکر شده ربات هیبریدی  $PP-(3RSS-PS)$  را به گزینه‌ای مناسب برای شبیه‌ساز رانندگی تبدیل می‌کند که برای مراحل شتاب و کاهش سرعت به محدوده حرکت طولی و حرکت یاب زیادی نیاز دارد. ربات هیبریدی  $PP-(3RSS-PS)$  پیشنهادی می‌تواند به عنوان یک مطالعه موردی برای بهینه‌سازی و مقایسه با سایر شبیه‌سازهای معمولی با در نظر گرفتن شاخص‌های عملکرد مختلف استفاده شود.



$a$	طول هر یک از لینک‌های دوار	$M$	مرکز صفحه متحرک
$\vec{a}_M$	شتاب مجری نهایی ربات	$\vec{n}_i$	بردار یکه در راستای لینک میانی نام
$b$	طول هر یک از لبه‌های صفحه متحرک	$S_a^j$	تابع انرژی شتاب برای ازامین محرک دورانی
$C_1$	دایره‌ای که از مرکز اتصالات کروی پایین می‌گذرد	$S_l^j$	تابع انرژی شتاب برای ازامین لینک میانی
$C_2$	دایره‌ای که از مرکز اتصالات کروی بالا می‌گذرد	$S_{P_i}$	تابع انرژی شتاب محرک‌های خطی
$\vec{e}_i$	بردارهای واحد در سیستم مختصات ثابت و پایه	$\vec{u}_i$	بردار یکه در راستای لینک دورانی نام
$F_{e_i}$	نیروی اعمال شده در امتداد $\vec{e}_i$	$\vec{v}_i$	بردار یکه در راستای لبه نام صفحه متحرک
$\vec{H}_M$	تکانه زاویه‌ای صفحه متحرک حول مرکز جرم آن	$\vec{\alpha}_i$	شتاب زاویه‌ای لینک میانی نام
$B_{I_l^j}$	تانسور اینرسی ازامین لینک میانی	$\mathcal{R}$	ماتریس دوران
$J$	ماتریس ژاکوبین ربات	$\theta_i$	زاویه دوران لینک دوار نام
$l$	طول هر یک از لینک‌های میانی	$\dot{\theta}_i$	سرعت زاویه‌ای لینک دوار نام
$m_a$	جرم هر یک از لینک‌های دوار	$\ddot{\theta}_i$	شتاب زاویه‌ای لینک دوار نام
$m_l$	جرم هر یک از لینک‌های میانی	$\vec{\Omega}$	سرعت زاویه‌ای صفحه متحرک
$m_{P_1}$	جرم محرک خطی در راستای $X$	$\dot{\vec{\Omega}}$	شتاب زاویه‌ای صفحه متحرک
$m_{P_2}$	جرم محرک خطی در راستای $Y$	$\vec{\omega}_i$	سرعت زاویه‌ای لینک میانی نام
$m_{P_3}$	جرم سیلندر مرکزی	$\tau_i$	گشتاور اعمال شده به لینک دوار نام

## مراجع و منابع

- [1] M. Shahinpoor, "Kinematics of a parallel- serial (Hybrid) manipulator," *Journal of Robotic Systems*, vol. 9, no. 1, pp. 17-36, 1992.
- [2] R. Ricard and C. Gosselin, "On the development of hybrid planar manipulators," *IEEE in Proceedings of 36th Midwest Symposium on Circuits and Systems*, pp. 398-401, (1993).
- [3] S. Lee and S. Kim, "Efficient inverse kinematics for serial connections of serial and parallel manipulators," *IEEE in Proceedings of 1993 IEEE/RSJ International Conference on Intelligent Robots and Systems (IROS'93)*, vol. 3, pp. 1635-1641, (1993).
- [4] A. Campos, C. Budde, and J. Hesselbach, "A type synthesis method for hybrid robot structures," *Mechanism and Machine Theory*, vol. 43, no. 8, pp. 984-995, 2008.
- [5] K. Etemadi-Zanganeh and J. Angeles, "Instantaneous kinematics of general hybrid parallel manipulators," 1995.
- [6] S. Kim and W. Kim, "On the structure of the macro-micro neurosurgical robots in stereotactic surgery," *Hanyang Medical Reviews*, vol. 36, no. 4, pp. 254-261, 2016.
- [7] D. Zhang, J. Chen, W. Li, D. B. Salinas, and G.-Z. Yang, "A microsurgical robot research platform for robot-assisted microsurgery research and training," *International journal of computer assisted radiology and surgery*, vol. 15, no. 1, pp. 15-25, 2020.
- [8] G. Tosolin, J. Cartró, and V. Sharma, "Development of model predictive motion planning and control for autonomous vehicles," *Springer in 10th International Munich Chassis Symposium 2019*, pp. 323-340, (2020).
- [9] Y. Feng, J. Fan, B. Tao, S. Wang, J. Mo, Y. Wu, Q. Liang, and X. Chen, "An image-guided hybrid robot system for dental implant surgery," *International journal of computer assisted radiology and surgery*, 17(1), pp.15-26, 2022.
- [10] C. Dong, H. Liu, J. Xiao, and T. Huang, "Dynamic modeling and design of a 5-DOF hybrid robot for machining," *Mechanism and Machine Theory*, 165, p.104438, 2021.

- [11] H. D. Yang and A. T. Asbeck, "Design and characterization of a modular hybrid continuum robotic manipulator," *IEEE/ASME Transactions on Mechatronics*, 25(6), pp.2812-2823, 2020.
- [12] J. Enferadi and K. Jafari, "A Kane's based algorithm for closed-form dynamic analysis of a new design of a 3RSS-S spherical parallel manipulator," *Multibody System Dynamics*, 49, pp. 377-394, 2020.
- [13] R. Kelaiaia, O. Company, and A. Zaatri, "Multiobjective optimization of a linear Delta parallel robot," *Mechanism and Machine Theory*, vol. 50, pp. 159-178, 2012.
- [14] J. Enferadi and R. Nikrooz, "The performance indices optimization of a symmetrical fully spherical parallel mechanism for dimensional synthesis," *Journal of Intelligent & Robotic Systems*, vol. 90, no. 3-4, pp. 305-321, 2018.
- [15] S. N. Nabavi, M. Shariatee, J. Enferadi, and A. Akbarzadeh, "Parametric design and multi-objective optimization of a general 6-PUS parallel manipulator," *Mechanism and Machine Theory*, p. 103913, 2020.
- [16] S. N. Nabavi, A. Akbarzadeh, J. Enferadi, and I. Kardan, "A homogeneous payload specific performance index for robot manipulators based on the kinetic energy," *Mechanism and Machine Theory*, vol. 130, pp. 330-345, 2018.
- [17] Z. Gao and D. Zhang, "Performance analysis, mapping, and multiobjective optimization of a hybrid robotic machine tool," *IEEE Transactions on industrial electronics*, vol. 62, no. 1, pp. 423-433, 2014.
- [18] S. Kucuk, "Dexterous workspace optimization for a new hybrid parallel robot manipulator," *Journal of Mechanisms and Robotics*, vol. 10, no. 6, 2018.
- [19] O. Ibrahim and W. Khalil, "Inverse and direct dynamic models of hybrid robots," *Mechanism and machine theory*, vol. 45, no. 4, pp. 627-640, 2010.
- [20] S. N. Nabavi, A. Akbarzadeh, and J. Enferadi, "Closed-Form Dynamic Formulation of a General 6-P US Robot," *Journal of Intelligent & Robotic Systems*, vol. 96, no. 3-4, pp. 317-330, 2019.
- [21] J. Gallardo-Alvarado, C. R. Aguilar-Nájera, L. Casique-Rosas, J. M. Rico-Martínez, and M. N. Islam, "Kinematics and dynamics of 2 (3-RPS) manipulators by means of screw theory and the principle of virtual work," *Mechanism and Machine Theory*, vol. 43, no. 10, pp. 1281-1294, 2008.
- [22] Y. Wu, Z. Yang, Z. Fu, J. Fei, and H. Zheng, "Kinematics and dynamics analysis of a novel five-degrees-of-freedom hybrid robot," *International Journal of Advanced Robotic Systems*, vol. 14, no. 3, p. 1729881417716634, 2017.
- [23] Y. Yun and Y. Li, "Modeling and control analysis of a 3-PUPU dual compliant parallel manipulator for micro positioning and active vibration isolation," *Journal of Dynamic Systems, Measurement, and Control*, vol. 134, no. 2, 2012.
- [24] D. Zhang, Y. Xu, J. Yao, and Y. Zhao, "Design of a novel 5-DOF hybrid serial-parallel manipulator and theoretical analysis of its parallel part," *Robotics and Computer-Integrated Manufacturing*, vol. 53, pp. 228-239, 2018.
- [25] J. W. Gibbs, "On the fundamental formulae of dynamics," *American Journal of Mathematics*, vol. 2, no. 1, pp. 49-64, 1879.
- [26] P. Appell, "Sur les mouvements de roulement; equations du mouvement analogues a celles de Lagrange," *Comptes Rendus*, vol. 129, pp. 317-320, 1899.
- [27] M. Shariatee, A. Akbarzadeh, and N. Nabavi, "Design of a Pneumatic Weight Compensation System for the FUM Stewart Robot," *IEEE in 2017 5th RSI International Conference on Robotics and Mechatronics (ICRoM)*, , pp. 624-629, (2017).